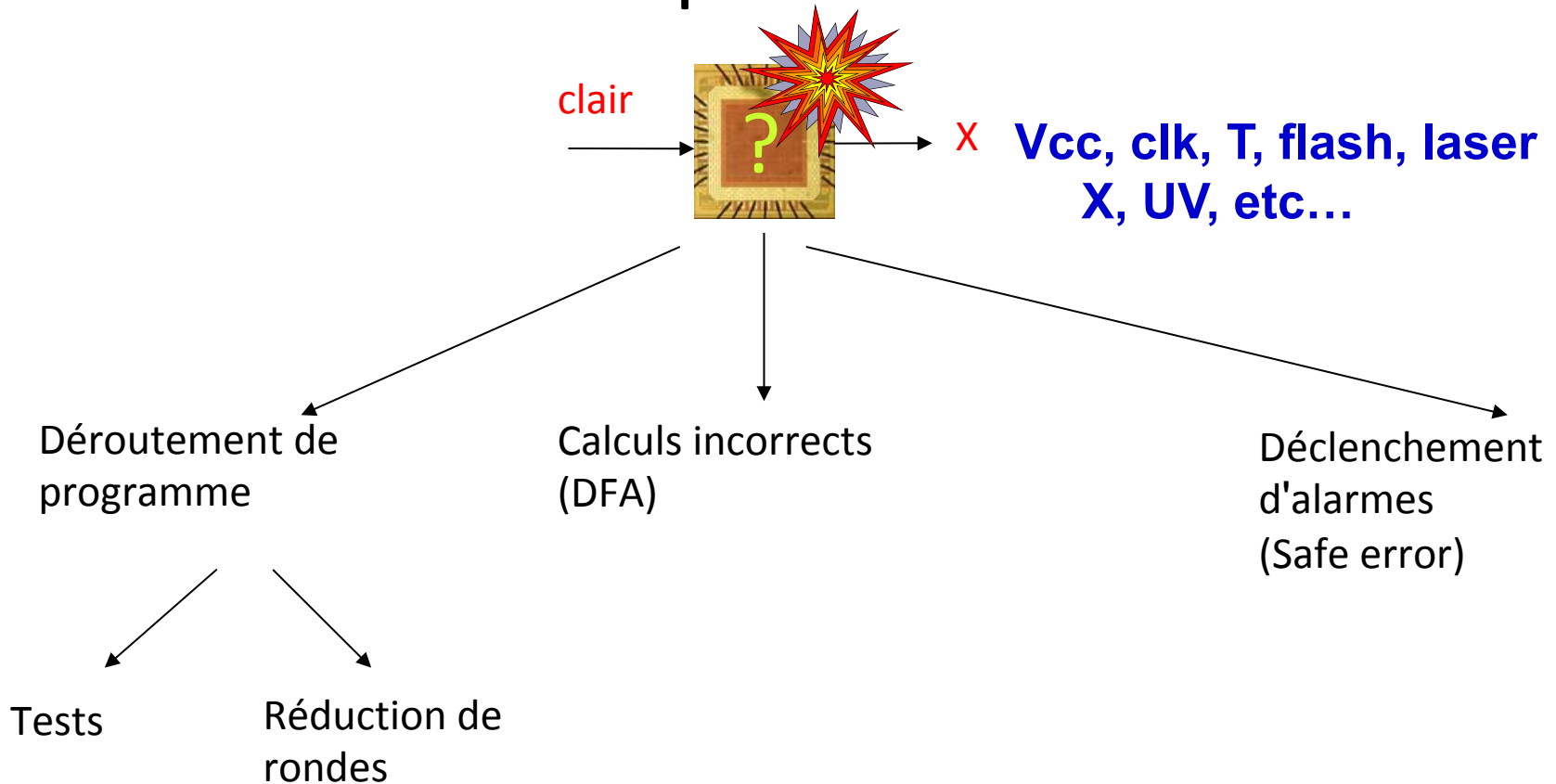


Attaques en fautes

Attaques en faute



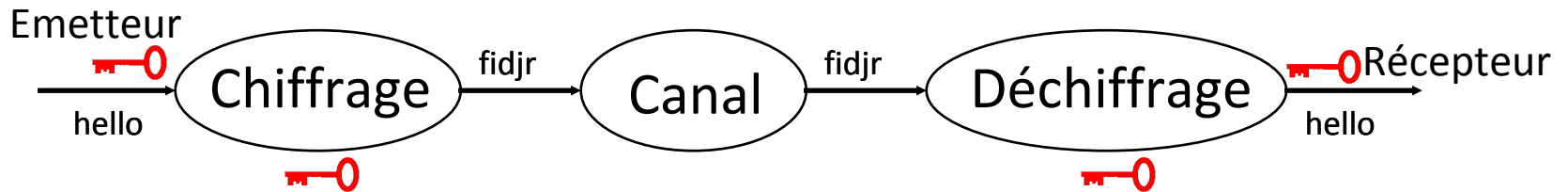
Syndrome :

Le fonctionnement du circuit peut être perturbé par la modification de son environnement

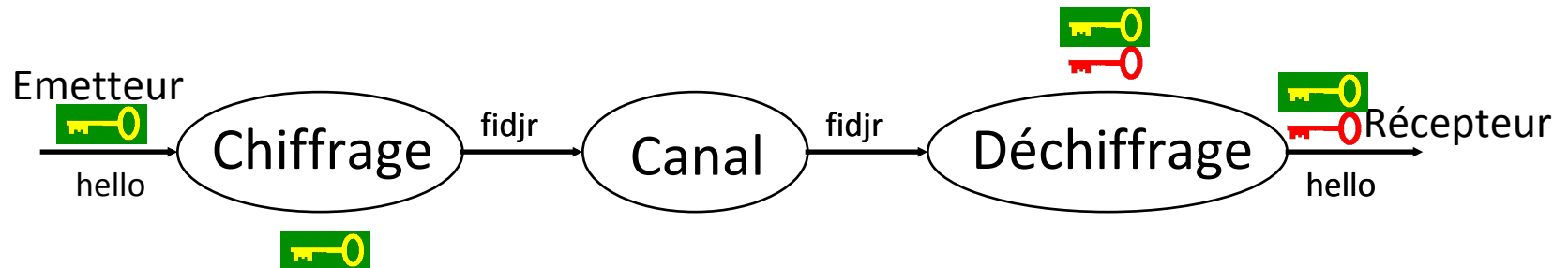
Attaque sur le RSA

Rappel : RSA

- Cryptographie à clé « **privée** » cryptage symétrique
 - Clé petite (128 bits), chiffrement rapide



- Cryptographie à clé « **publique** » cryptage asymétrique
 - 2 grandes clés (512 à 1024 bits) :
 - 1 **publique** connue de tous
 - 1 **privée** pour déchiffrer



Rappel

Théorème de Fermat :

si p premier, alors $a^p = a \pmod{p}$

Identité de Bezout

soit a et b relatifs, il existe u et v / $a.u + b.v = \text{pgcd}(a,b)$

Conséquence 1 :

si a et b premiers entre eux : $a.u + b.v = 1$

autrement dit : $a.u = 1 \pmod{b}$

u : inverse modulaire de a , noté $a^{-1} \pmod{b}$

u et v sont calculables par l'algorithme d'Euclide étendu (cf. Moodle)

Indicatrice d'Euler : $\phi(n)$ = nombre d'entiers entre 1 et n premiers avec n

Si n est premier $\phi(n) = n-1$

Rappel : RSA

- Cryptographie à clé publique
 - RSA (Rivest, Shamir, Adleman, 1977)

Le Récepteur génère les clés:

Il prend deux *grands* nombres premiers p et q gardés secrets

clé "publique":

- $n = p * q$
- $\phi(n) = \phi(p)\phi(q) = (p-1)(q-1)$
- Soit e premier avec $\phi(n)$
- $d = e^{-1} \bmod \phi(n)$ par l'algorithme d'Euclide étendu

càd : $(e \cdot d) \bmod \phi(n) = 1$

clé "privée" : e (élément inversible)

Rappel : RSA

Exemple: **Récepteur** génère les clés

Soit $p = 9767$, $q = 12347$, (p et q premiers), $n = p \cdot q = 120593149$

$\phi(n) = (p-1)(q-1) = 120571036$

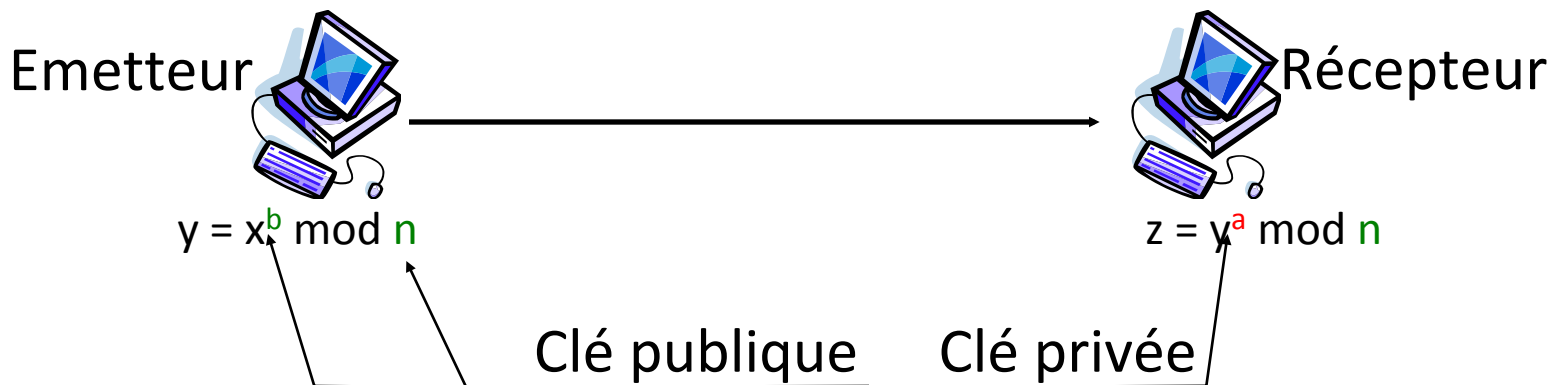
$e = 17345973$ et $d = e^{-1} \bmod \phi(n) = 7013393$

On a bien $e \cdot d \bmod \phi(n) = 1$

Récepteur publie $(d, n) = (7013393, 120593149)$

clé **privée**
clé **publique**

Soit x le message à chiffrer ($x < n$)



Exemple

clé **privée**
clé **publique**

Emetteur chiffre le message : « hello » et le découpe en blocs de 24 bits

h	e	l	l	o	
104	101	108	108	111	32

$X = (01101000\ 01100101\ 01101100)_2 = (6841708)_{10}$

$Y = 6841708^{7013393} \bmod 120593149 = 12409058$

Récepteur reçoit Y et calcule $Z = 12409058^{17345973} \bmod 120593149$

104	101	108
1101000	1100101	1101100
h	e	l

$Z = 6841708 = 104 * 256^2 + 101 * 256 + 108$

Devinette (un peu de maths)

- Soient des objets en nombre x inconnu.
- Si on les range par 3 il en reste 2
- Si on les range par 5, il en reste 3
- Si on les range par 7, il en reste 2

- Combien a-t-on d'objets ?

Les restes chinois

n_1, n_2, \dots, n_k premiers entre eux 2 à 2

Soit $n = n_1 \cdot n_2 \cdot \dots \cdot n_k$

Soit le système :

$$x = a_1 \pmod{n_1}$$

$$x = a_2 \pmod{n_2}$$

.....

$$x = a_j \pmod{n_k}$$

$n_1, n_2, \dots, n_j, a_1, a_2, \dots, a_j$, connus

Théorème :

Il existe une solution unique (modulo n) avec

$$x = \sum a_i * e_i \quad \text{avec}$$

$$e_i = k_i * (k_i^{-1} \pmod{n_i}) \quad \text{et } k_i = n/n_i$$

Soient des objets en nombre x inconnu.

Si on les range par 3 il en reste 2

Si on les range par 5, il en reste 3

et si on les range par 7, il en reste 2

Démonstration

- n_i et $k_i = n/n_i$ sont premiers entre eux
- Donc il existe u_i et v_i tels que : $u_i n_i + v_i k_i = 1$ (Bezout) avec $v_i =$ inverse de k_i modulo n_i
- En posant $e_i = v_i k_i$, on a :
 - $e_i = 1$ modulo n_i
 - $e_i = 0$ modulo n_j avec j différent de i
- Une solution particulière est :
$$x = \sum a_i^* e_i$$

Exemple

$$x = 2 \pmod{3} \Rightarrow k_1 = (3 \cdot 5 \cdot 7) / 3 = 35$$

$$x = 3 \pmod{5} \Rightarrow k_2 = (3 \cdot 5 \cdot 7) / 5 = 21$$

$$x = 2 \pmod{7} \Rightarrow k_3 = (3 \cdot 5 \cdot 7) / 7 = 15$$

on obtient

$$n_1 = 3 \text{ et } k_1 = 35 \Rightarrow k_1^{-1} \pmod{3} = 2 \text{ puisque } 2 \cdot 35 = 1 \pmod{3}$$

$$n_2 = 5 \text{ et } k_2 = 21 \Rightarrow k_2^{-1} \pmod{5} = 1 \text{ puisque } 1 \cdot 21 = 1 \pmod{5}$$

$$n_3 = 7 \text{ et } k_3 = 15 \Rightarrow k_3^{-1} \pmod{7} = 1 \text{ puisque } 1 \cdot 15 = 1 \pmod{7}$$

une solution pour x est $x = 2 \cdot 35 \cdot 2 + 3 \cdot 21 \cdot 1 + 2 \cdot 15 \cdot 1 = 233 \pmod{105}$

et les solutions sont tous les entiers congrus à 233 modulo 105, c'est-à-dire à 23 modulo 105.

$x = 23$ ou $23+105$ ou $23+105+105$ ou ...

Soient des objets en nombre x
inconnu.

Si on les range par 3 il en reste 2

Si on les range par 5, il en reste 3

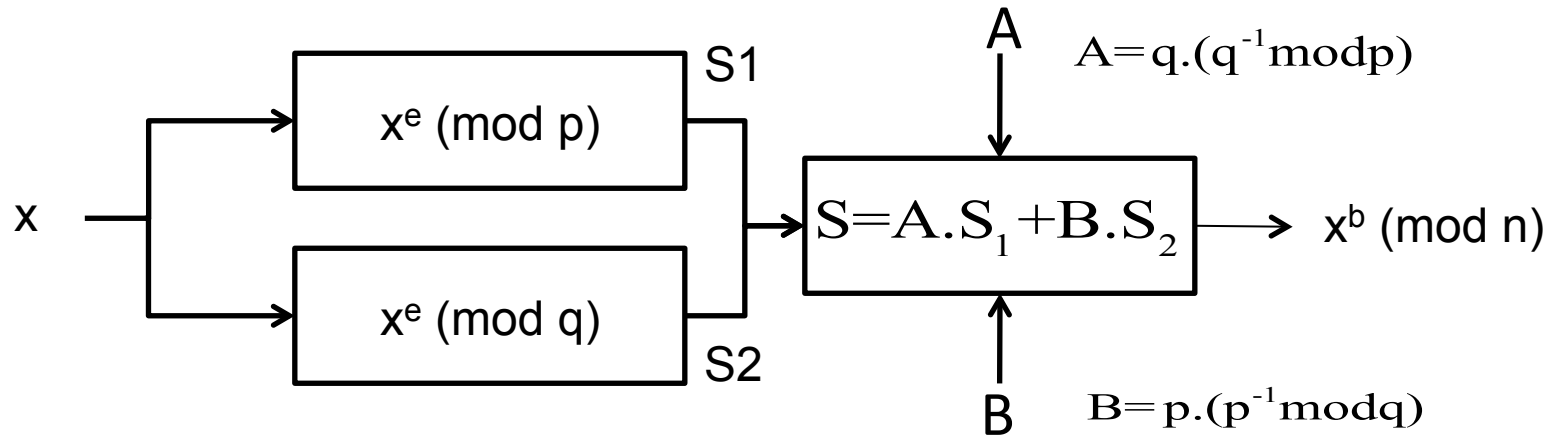
et si on les range par 7, il en reste 2

$$x = \sum a_i \cdot e_i \quad \text{avec}$$
$$e_i = k_i \cdot (k_i^{-1} \pmod{n_i}) \text{ et } k_i = n/n_i$$

RSA-ChineseRemainderTheorem

- $n = p * q$, p et q premiers (rôles des n_1 et n_2 du CRT)
- Soit à calculer $S = x^e \pmod n$
- CRT : But = accélérer le calcul avec des modulo plus petits
- On calcule
 - $S_1 = x^e \pmod p$ (S1 joue le rôle du a_1 précédent, p celui du n_1)
 - $S_2 = x^e \pmod q$ (S2, q celui du n_2)
 - $k_1 = n/n_1 = q$, $k_2 = n/n_2 = p$
- En appliquant le résultat du théorème (restes chinois)
 - $S = A . S_1 + B . S_2$ avec
 - $A = q . (q^{-1} \pmod p)$ et $B = p . (p^{-1} \pmod q)$
 - A et B sont précalculés

RSA-CRT architecture



Exemple

- $n = 5 \times 7$; $\phi(n) = (5-1)(7-1) = 24$
- $e = 11$ (premier avec 24)
- Soit $x = 4$ à chiffrer donc à calculer $y = 4^{11} \pmod{35}$

1/ Approche "classique"

A faire (sans calculette) calculer : $4^{11} \pmod{35}$

2/ Approche CRT

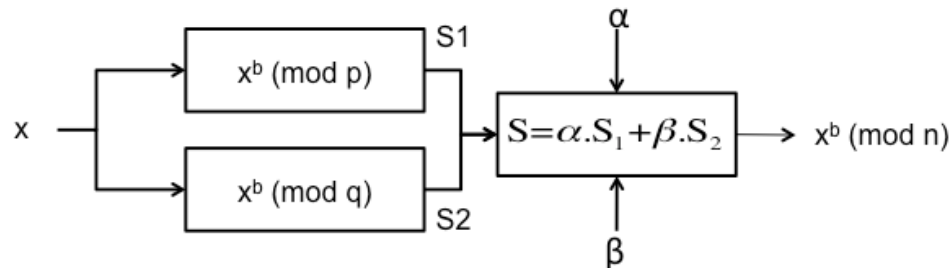
Inverse de 5 (mod 7) = 3 : $3 \times 5 = 15 = 1 \pmod{7}$

Inverse de 7 (mod 5) = 3 : $3 \times 7 = 21 = 1 \pmod{5}$

Calculer $4^{11} \pmod{5} = S_1$

Calculer $4^{11} \pmod{7} = S_2$

Calculer : $7 \times 3 \times S_1 + 5 \times 3 \times S_2$ (éventuellement réduire modulo 35)



Calculer $p^{-1} \pmod{q}$

- Rappels :

Identité de Bezout :

Soit p et $q \in \mathbb{N}$, $\exists u$ et $v \in \mathbb{Z} / p.u + q.v = \text{pgcd}(p,q)$

Si p et q premiers entre eux (en part. si q premier) :

$p.u + q.v = 1 \Leftrightarrow p.u = 1 - q.v \Leftrightarrow p.u = 1 \pmod{q} \Leftrightarrow$

$$u = p^{-1} \pmod{q}$$

Comment calculer l'inverse modulaire $p^{-1} \pmod{q}$?

Algorithme d'Euclide étendu

- Exemple : calculer l'inverse de 7 modulo 17

$$17 = 2 \times 7 + 3$$

$$7 = 2 \times 3 + 1 \text{ (pgcd)}$$

En reprenant à l'envers :

$$1 = 7 - 2 \times 3$$

$$= 7 - 2 \times (17 - 2 \times 7)$$

$$= 7 - 2 \times 17 + 4 \times 7$$

$$= 5 \times 7 - 2 \times 17$$

$$\Rightarrow 5 \times 7 = 1 \pmod{17} \Rightarrow 5 = 7^{-1} \pmod{17}$$

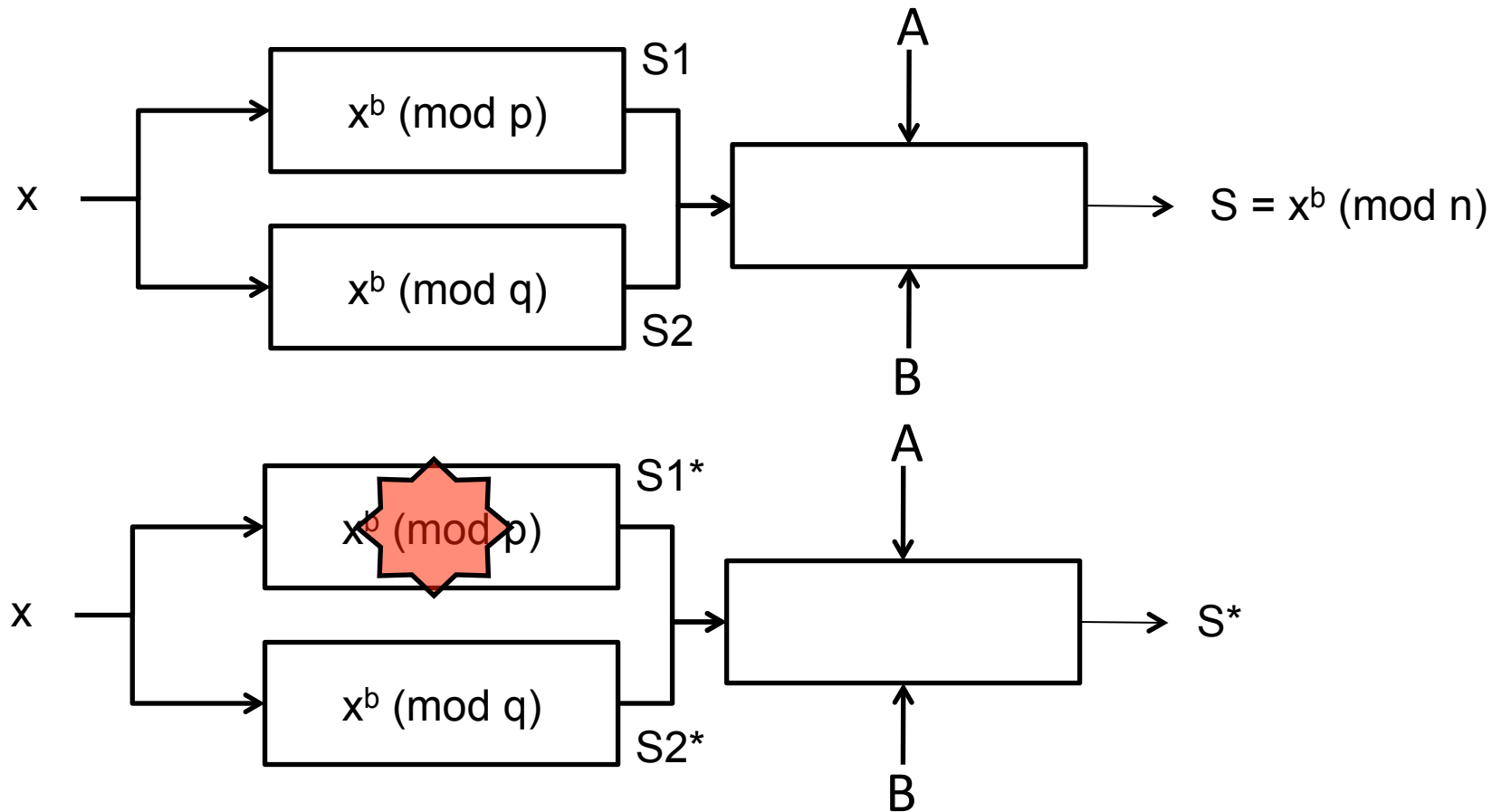
Exercice

- Inverse de 30 mod 17 ?

Solution

- Déjà: $30 \pmod{17} = 13 \pmod{17}$
- $17 = 1 \times 13 + 4$
- $13 = 3 \times 4 + 1$
- $1 = 13 - 3 \times 4 = 13 - 3 \times (17 - 1 \times 13) = 4 \times 13 - 3 \times 17$
- $\Rightarrow 13^{-1} \pmod{17} = 4$
- Preuve : $4 \times 13 = 52 = 51 + 1 = 3 \times 17 + 1$

Attaque : phase 1



On code 2 fois le même message, une fois sans faute, une fois avec faute.

$$S1 \neq S1^* \quad S2 = S2^*$$

Attaque : phase 2

Rappel : $S = q \cdot (q^{-1} \bmod p) \cdot S1 + p \cdot (p^{-1} \bmod q)$

$$\begin{aligned} S(\bmod q) &= [q \cdot (q^{-1} \bmod p) \cdot S1 + p \cdot (p^{-1} \bmod q)] (\bmod q) \\ &= [q \cdot (q^{-1} \bmod p) \cdot S1](\bmod q) + [p \cdot (p^{-1} \bmod q)] (\bmod q) \\ &= 0 + [p \cdot (p^{-1} \bmod q)] (\bmod q) \end{aligned}$$

De même : $S^* (\bmod q) = [p \cdot (p^{-1} \bmod q)] (\bmod q)$

Donc $S(\bmod q) = S^* (\bmod q)$ càd q divise $(S-S^*)$

Par contre

$$\begin{aligned} S(\bmod p) &= [q \cdot (q^{-1} \bmod p) \cdot S1 + p \cdot (p^{-1} \bmod q)] (\bmod p) \\ &= [q \cdot (q^{-1} \bmod p) \cdot S1] (\bmod p) \end{aligned}$$

$$\begin{aligned} S^*(\bmod p) &= [q \cdot (q^{-1} \bmod p) \cdot S1^* + p \cdot (p^{-1} \bmod q)] (\bmod p) \\ &= [q \cdot (q^{-1} \bmod p) \cdot S1^*](\bmod p) \end{aligned}$$

Comme $S1 \neq S1^*$, p ne divise pas $(S-S^*)$

En résumé :

p et q premiers, $n = p \cdot q$

q divise $(S-S^*)$ et p ne divise pas $(S-S^*)$

Donc $\text{PGCD}(S-S^*, n = pq) = q$

On a n , S et S^* , on en déduit q , on en déduit p . On a tout

Exercice

- $n = 35 = p * q$ (imaginez à la place, un très grand nombre n produit de 2 nombres premiers), $e = 11$
- Trouver p et q (5 et 7 ici évidemment)
- Soit $x = 4$ à coder c'ad calculer $S = 4^{11}$ (modulo 35)
- Sans erreur :
 $p=5, p^{-1} \bmod 7 = 3 \Rightarrow A = 3 * 5 = 15 = 1 \bmod 7$
 $q=7, q^{-1} \bmod 5 = 3 \Rightarrow B = 7 * 3 = 21 = 1 \bmod 5$

$$A = 3 * 7 = 21$$

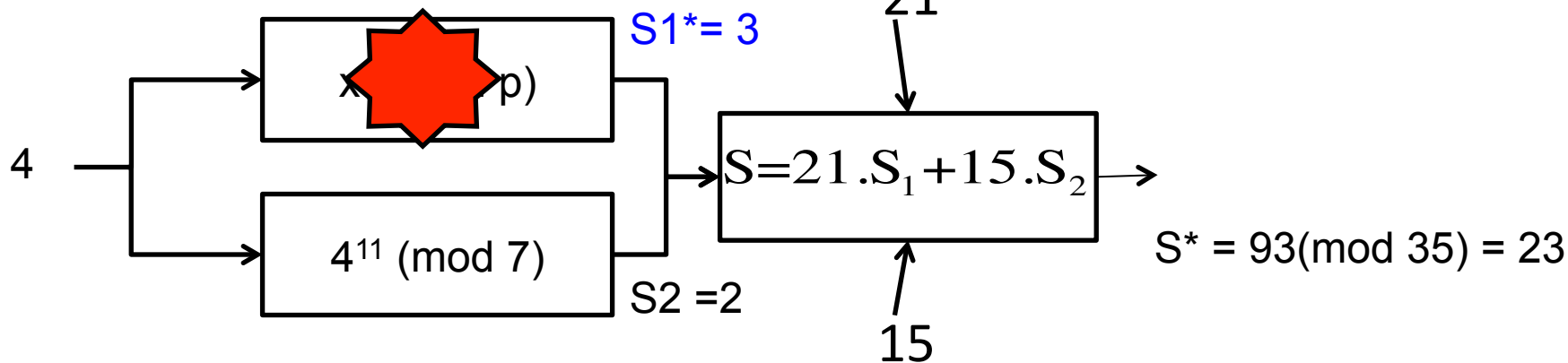
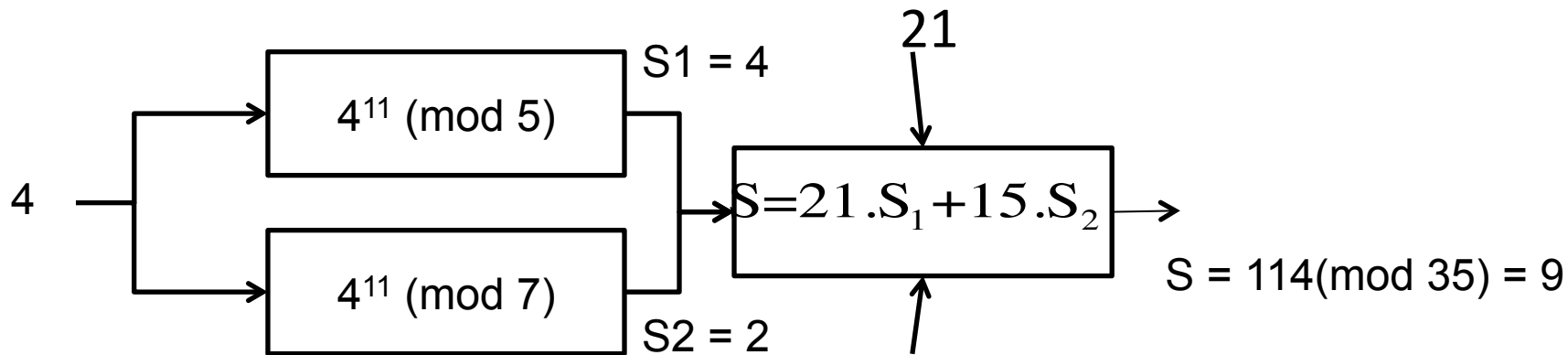
$$B = 3 * 5 = 15$$

$$S1 = 4^{11} \pmod{5} = 4$$

$$S2 = 4^{11} \pmod{7} = 2$$

$$S = 4 * 21 + 15 * 2 \pmod{35} = 114 \pmod{35} = 9$$

Exercice



Récapitulatif

- Connus

$$n = 35 = p * q$$

$$S = 9$$

$$S^* = 23$$

- $\text{PGCD}(23-9, 35) = \text{PGCD}(14, 35) = 7 = q$
- $n = 35 = p * 7 \Rightarrow p = 5$

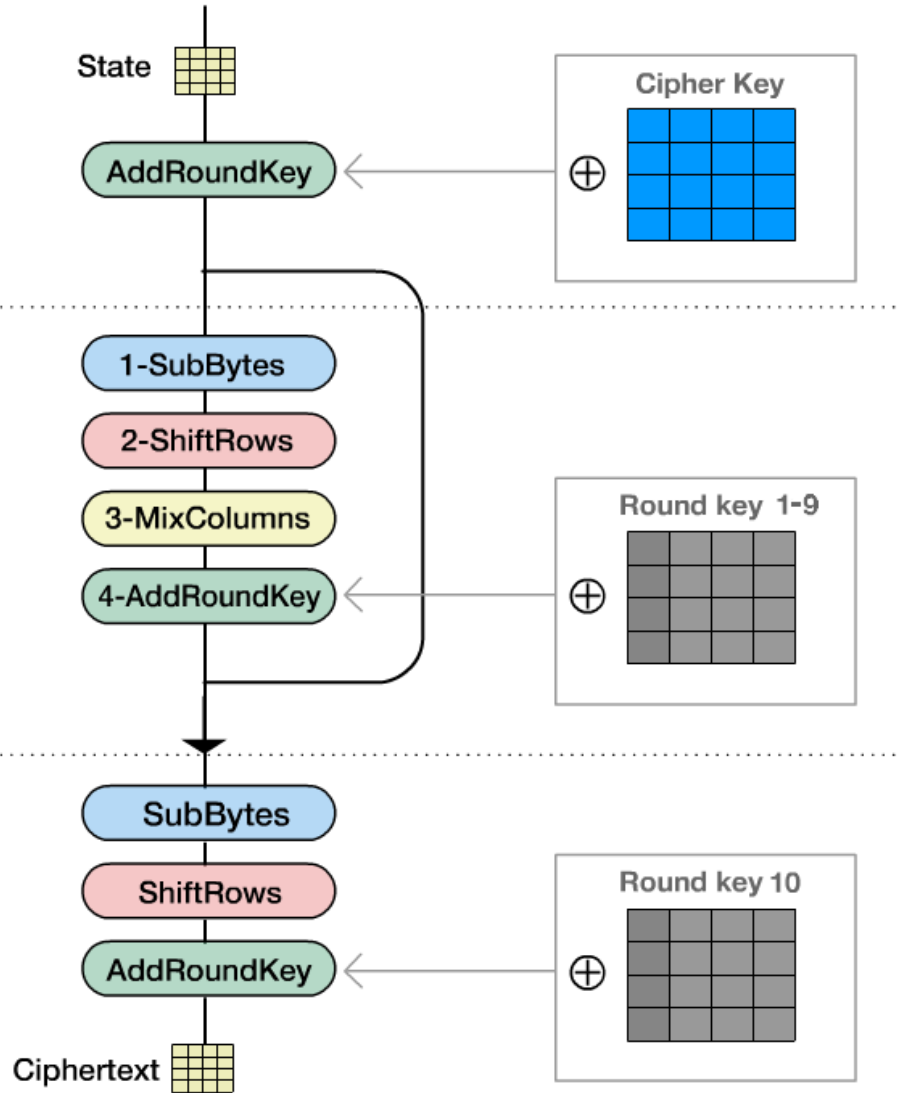
Attaque : conditions

- Les conditions de l'attaque :
 - Pouvoir crypter 2 fois le même message (qui est quelconque)
 - Pouvoir injecter une erreur dans un seul des deux calcul d'exponentiation
- Pas d'hypothèse sur le type d'erreur !

Les attaques sur l'AES

- Giraud (Oberthur Card System) 2003
 - Attaque sur un bit sur entrée dernier SubBytes
 - Attaque sur KeySchedule (K9, K8) puis datapath (M8)
- Chen et Yen 2003
 - Attaque sur KeySchedule (K9, 2 fois K8)
 - Contre-mesures présentées
- Attaques sur datapath (MixColumns)
 - Dusart, Vivolo et Letourneux 2003
 - Piret et Quisquater 2003
- Safe error (Blömmner et Seifert) 2003
 - Attaque bit
 - 2 attaque octet
 - Implémentation xtimes

AES



Les attaques sur l'AES

	Target	Focalization	#Faults
[BS03]	Data(M_0)	Bit	128
[CNSM03]	Data $7^*(M_8)$ +Key $4^*(K_9)$	Byte	11
[Gir03]	Data $16^*(M_9)$	Bit	16
[PjQ03]	Key $4^*(K_9)$ + $4^*(K_{10})$ +Data $4^*(M_8)$	Byte	12
[PjQ03]	Data $4^*(M_9)$ or $1^*(M_8)$	Byte	4 or 1
[CT05]	Round counter	Round counter value	1
[PMC ⁺ 11]	Round counter	Byte	1
[DLV03]	Data $4^*(M_9)$	Byte	4
[RM07]	Data before first subbyte	Bit or Byte	16
[KQ08]	K_7	Byte	1
[AMT]	Data at 8^{th} round input	Byte	1

Giraud (Oberthur Card System) 2003 : Attaque sur un bit sur entrée dernier SubBytes

L'attaque bit de Giraud

- Faute :
 - On attaque 1 bit sur un octet avant le dernier SubBytes
 - L'octet est faux à la sortie
 - On cherche à trouver un octet de la clef
- Attaque :
 - On réalise deux exécutions, une normale et une fautive, avec le même texte clair non connu
 - On "xore" les deux résultats, un seul octet diffère
 - La position de l'octet nous donne l'octet sur lequel l'attaque a eu lieu (InvShiftRows)
 - On fait des hypothèses sur le bit faux e et X , on calcule les candidats

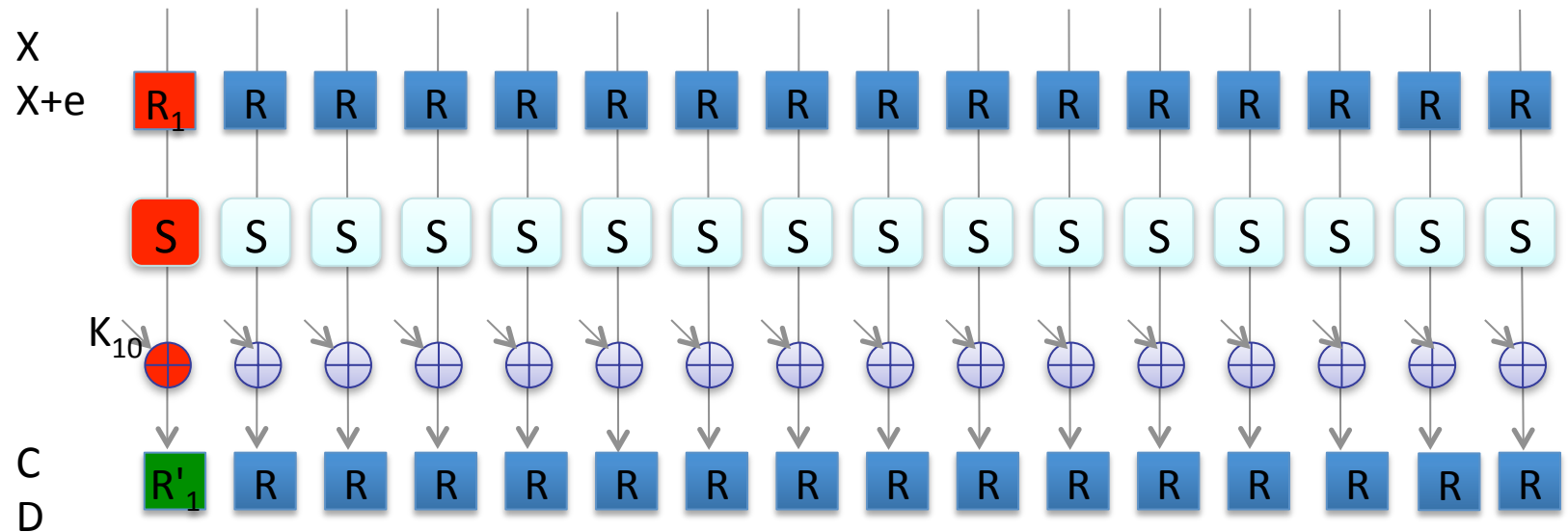
$$C = SB(X) \oplus K10$$

$$D = SB(X \oplus e) \oplus K10$$

$$\Delta = SB(X) \oplus SB(X \oplus e)$$

Attaque 'bit' de Giraud

Dernière ronde de l'AES



$$C = SB(X) \oplus K_{10}$$

$$D = SB(X \oplus e) \oplus K_{10}$$

$$\Delta = SB(X) \oplus SB(X \oplus e)$$

L'attaque bit de Giraud

- On essaie (en simulation) les 256 valeurs de X et les 8 valeurs de e / $SB(X) \oplus SB(X \oplus e) = C \oplus D = \Delta$
- 8 solutions en moyenne pour X
- $K_{10} = C \oplus SB(X)$ (8 solutions)
- On refait avec un autre X
 - On trouve l'octet de clef avec la proba 82%
 - Avec un troisième X , $P = 99\%$
- Fautes requises : moins de 50 pour la clé complète

Attaque : conditions

- Les conditions de l'attaque :
 - Pouvoir crypter 2 fois le même message (qui est quelconque)
 - Pouvoir injecter une erreur
 - sur un seul bit
 - au début de la dernière ronde

Exercice

- Le premier octet du crypté d'un message est 0x71 (hexa).
- Le premier octet du crypté du même message avec injection d'une faute lors de la dernière ronde est 0xaa.
- Les autres octets sont identiques à ceux du premier crypté

- Le premier octet du crypté d'un autre message est 0xab
- Avec une faute, le premier octet du crypté est 0x39

- Quelle est le premier octet de la clef ? voir moodle

- https://www.tutorialspoint.com/compile_c_online.php

Mise en œuvre des attaques en fautes

- ✓ Par perturbation de la tension d'alimentation
- ✓ Par perturbation de l'horloge
- ✓ Par perturbation de la température
- ✓ Attaques Électromagnétiques
- ✓ Injection laser
- ✓ Injection de particules

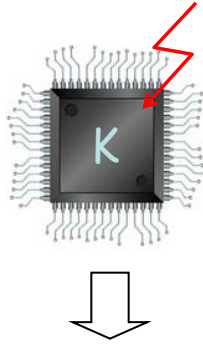
❑ Techniques d'injection de fautes non invasives.

- Théorie (violations de setup et de délai)
- Réalisations expérimentales

❑ Techniques d'injection de fautes semi-invasives.

- L'injection laser (effet photoélectrique)
- Injection mono octet

Partie
expérimentale



Technique d'injection

Chiffrés fautés, side channels, comportement, etc.

Extraction
informations

Méthodes

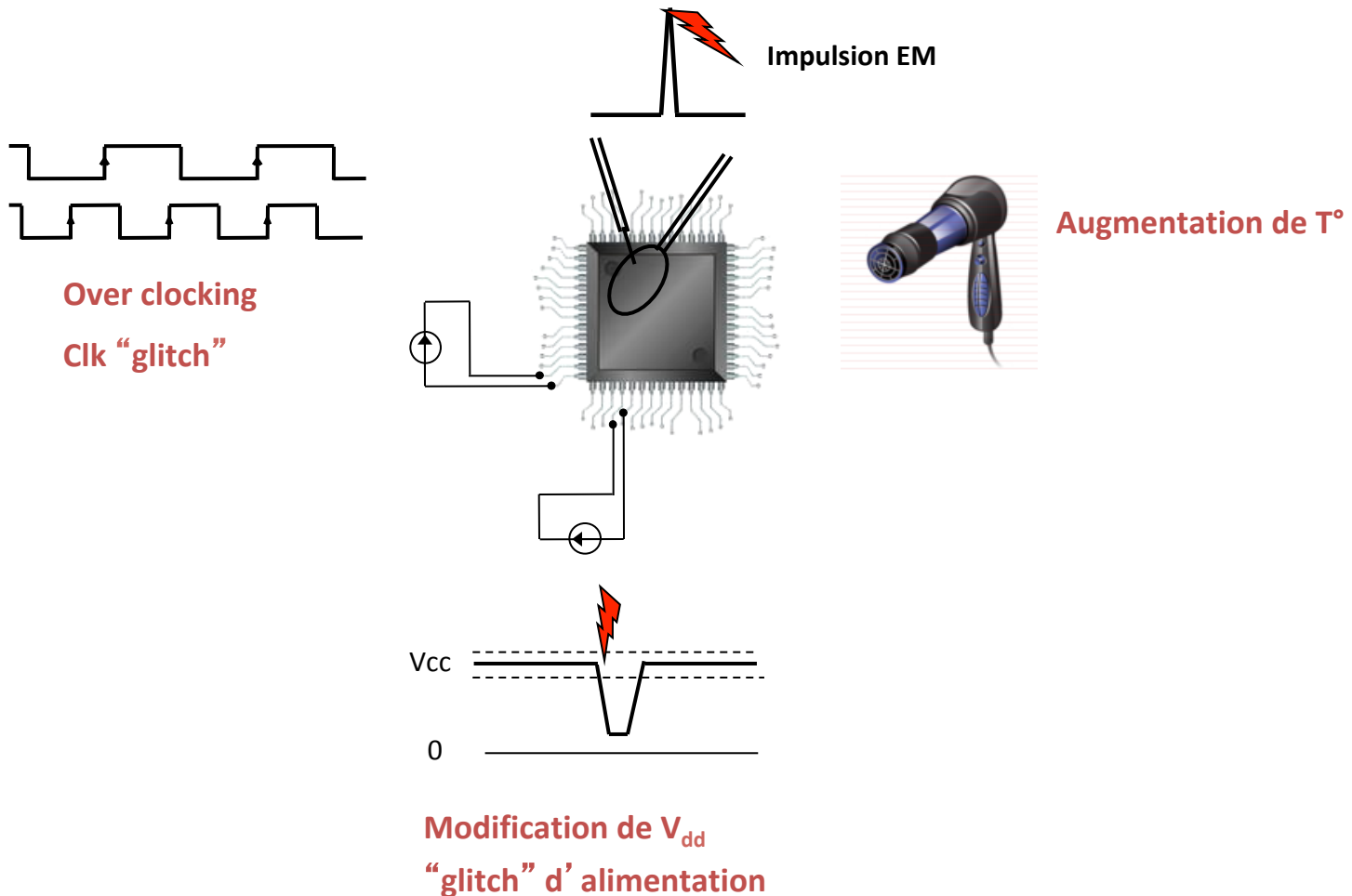
- Réduction nb. rondes
- Analyse différentielle de fautes
- Safe error

Modèle de faute

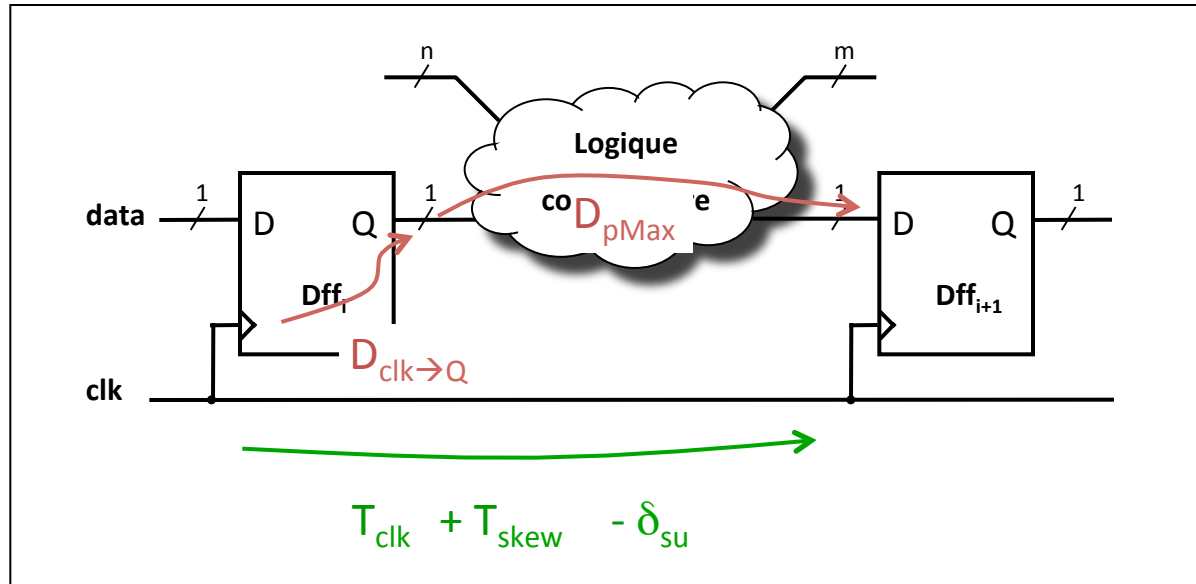
- Instant d'injection
- Bit / Octet
- Aléatoire / Donnée choisie

La technique d'injection employée doit permettre l'injection de fautes respectant le modèle de faute requis.

- Attaques non invasives : ne requérant pas l'ouverture du boîtier.



- Contrainte temporelle des circuits synchrones.



$$\text{data arrival time} = D_{clk \rightarrow Q} + D_{pMax}$$

$$\text{data required time} = T_{clk} + T_{skew} - \delta_{su}$$

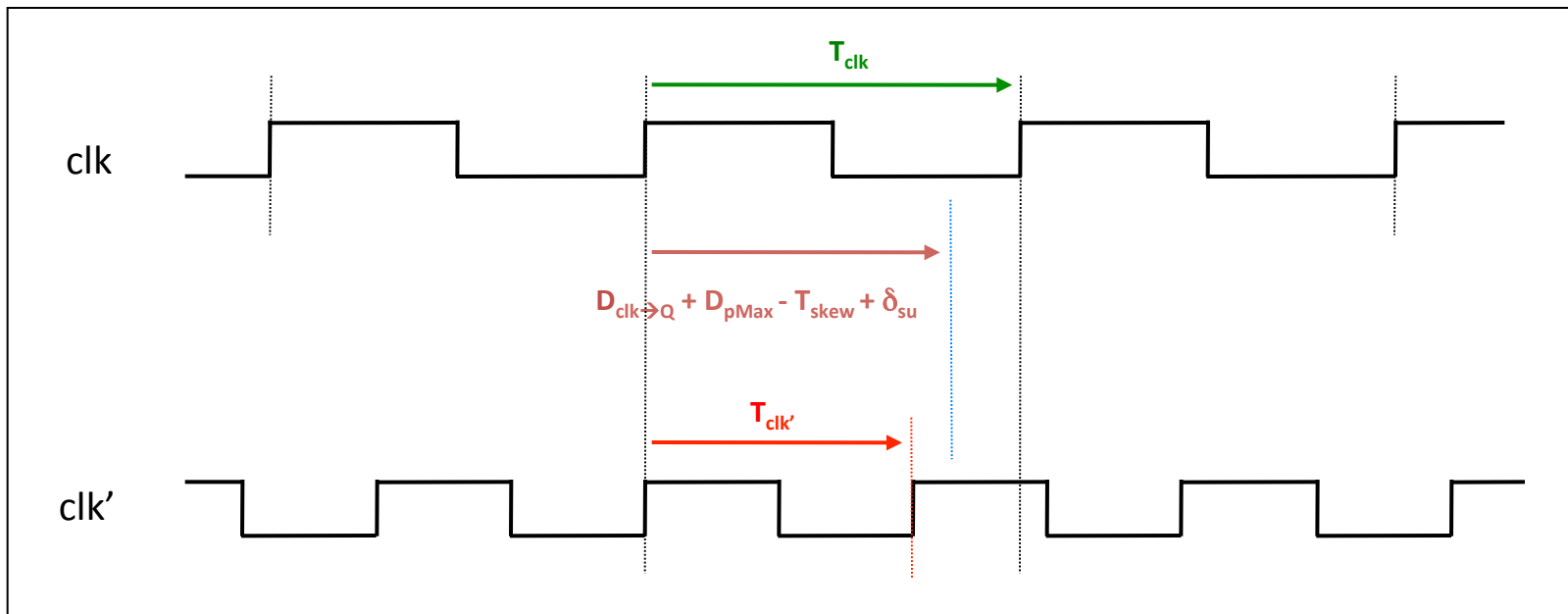
$$\Rightarrow T_{clk} > D_{clk \rightarrow Q} + D_{pMax} - T_{skew} + \delta_{su}$$

Injection de faute par violation de temps de setup / délai

- Overclocking.

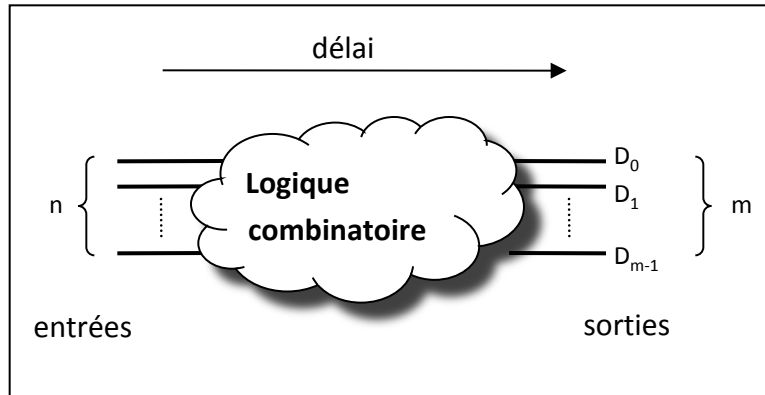
Approche classique : décroissance progressive de T_{clk} jusqu'à obtenir une violation de temps de setup.

$$T_{clk'} < D_{clk \rightarrow Q} + D_{pMax} - T_{skew} + \delta_{su} < T_{clk}$$



Injection de faute par violation de temps de setup / délai

■ Temps de propagation – Chemin critique



Chemin critique = max des tps de propagation

Le temps de propagation dépend :

- **des niveaux logiques (0 / 1)**
→ **le temps de propagation change avec les entrées**
- de la tension d'alimentation
- de la température

sorties = **f** (entrées)

f fonction logique

chaque D_i possède son propre temps de propagation

Localisation des fautes :

$$\text{délai} > T_{\text{clk}} - \text{setup time} - D_{\text{clk} \rightarrow \text{Q}} + T_{\text{skew}}$$

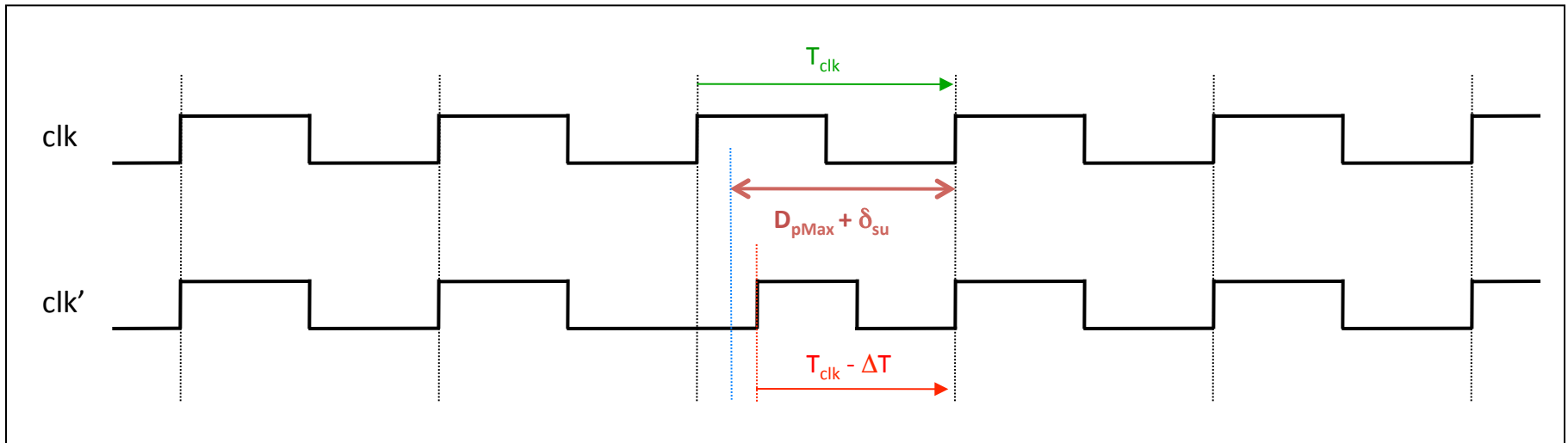
} permet de modifier l'endroit d'injection

Injection de faute par violation de temps de setup / délai

- Overclocking (suite).

⇒ limitation: injection de fautes potentiellement à chaque cycle d'horloge.

- Glitch* d'horloge – Modification locale d'une période.

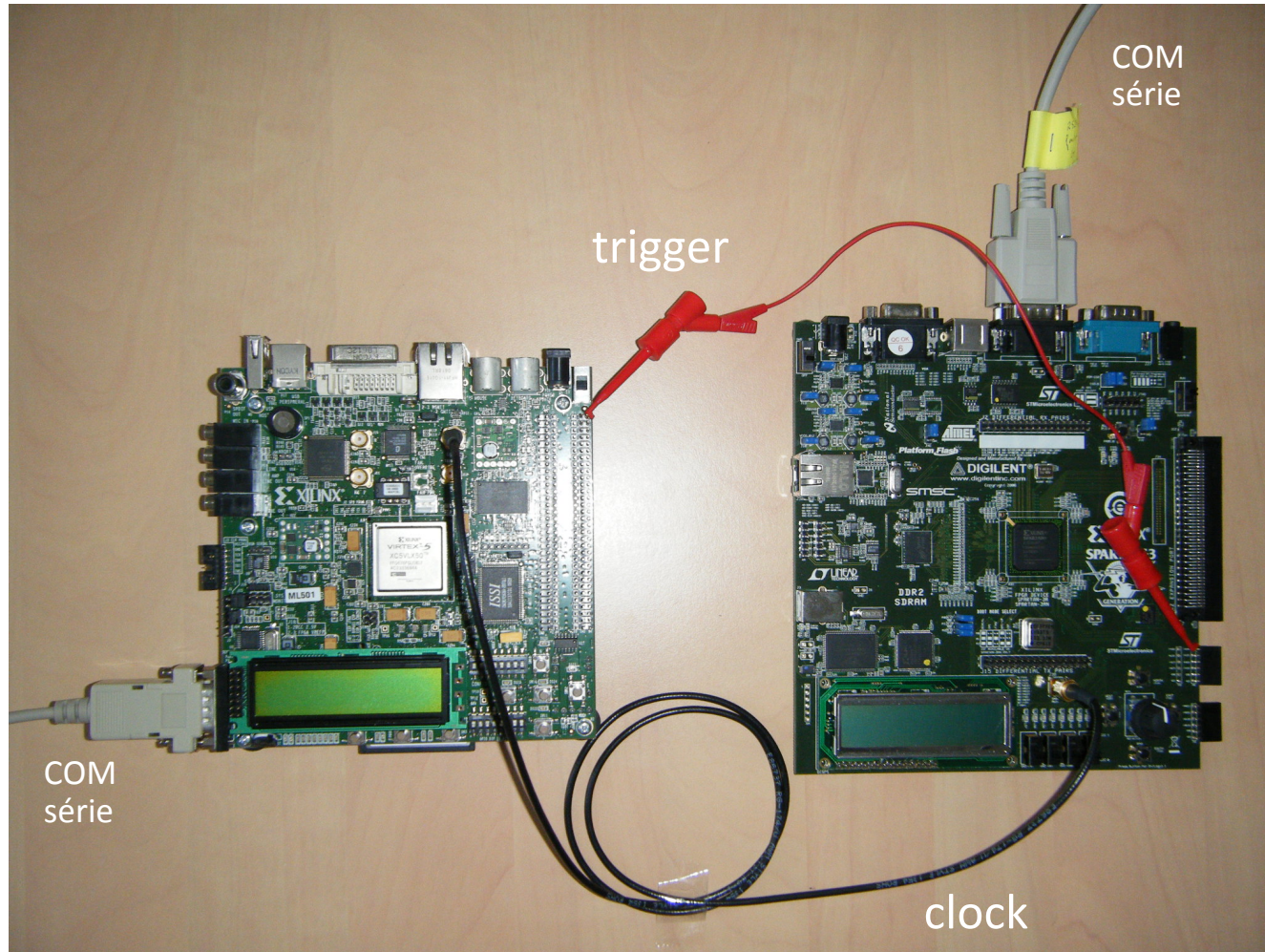


⇒ Choix du cycle d'injection.

⇒ Contrôle fin de la nature des fautes injectées ($\Delta T = 35 \text{ ps}$).

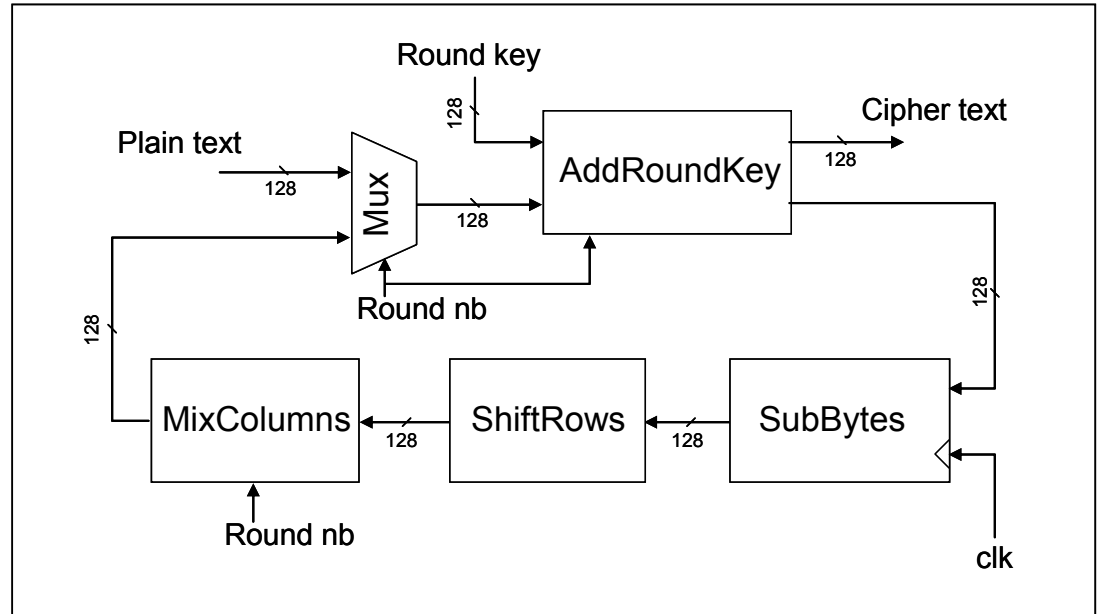
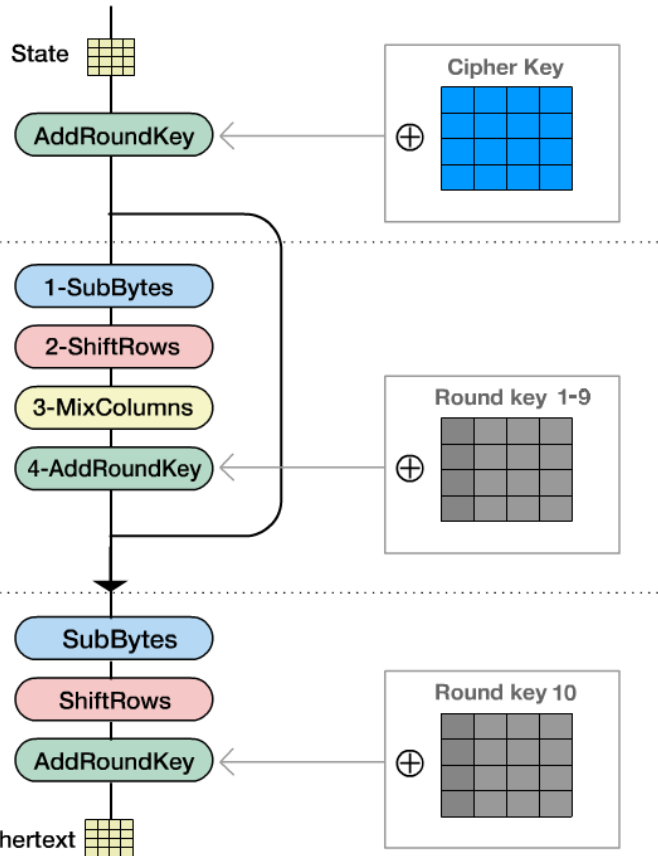
Injection de faute par violation de temps de setup / délai

- Dispositif expérimental



Injection de faute par violation de temps de setup / délai

- Cible : AES matériel.

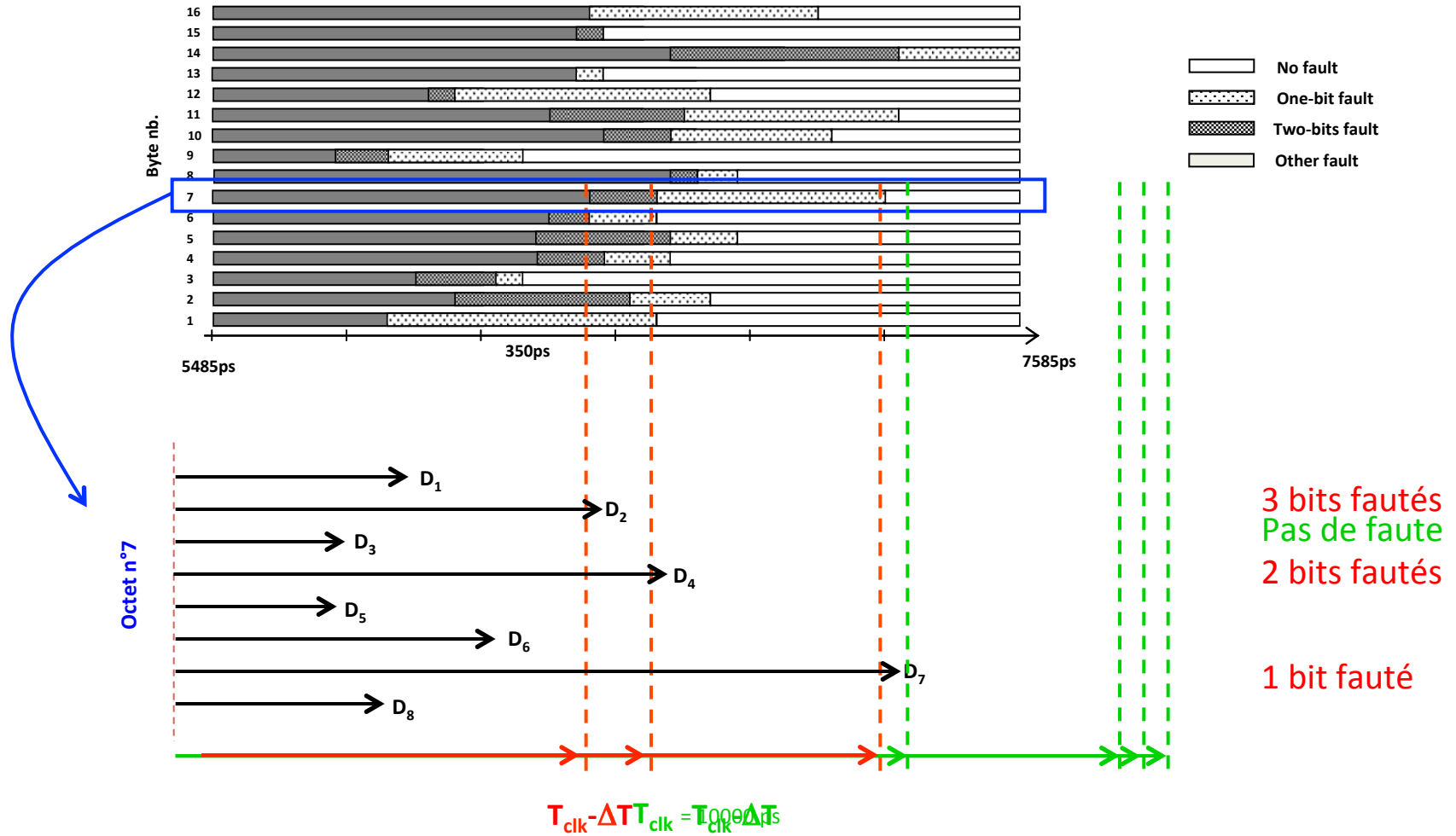


- Registre en entrée du SubBytes
- Architecture en boucle (i.e. chemin critique)

Injection en ronde finale ($f_{clk, nom} = 100 \text{ MHz}$)

Diminution progressive de T_{clk} ($\Delta T = 35 \text{ ps}$)

Résultats expérimentaux



- Glitch d'horloge.



Accès CLK requis

Contrôle de la focalisation : excellent

Faute mono-bit > 90%

Fautes 1 puis 2 bits > 70%

Fautes 1,2 puis 3 bits > 50%

Contrôle de l'instant d'injection : total (choix du cycle)

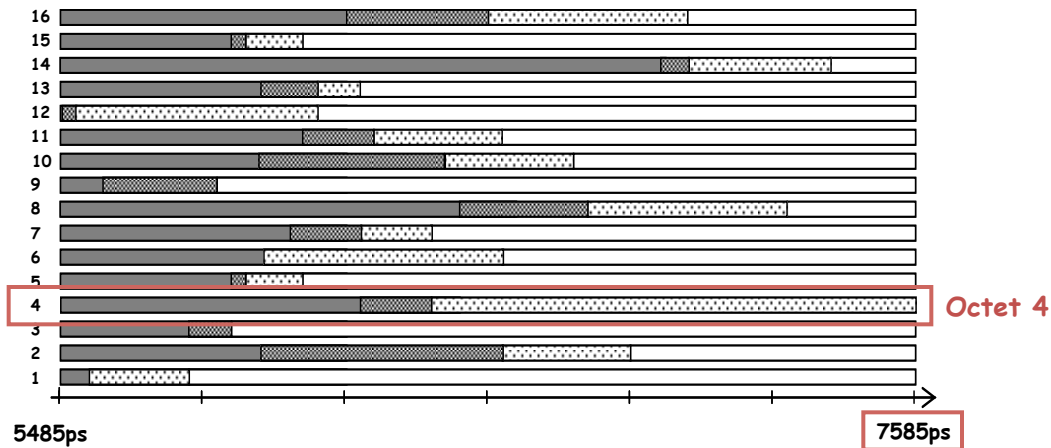
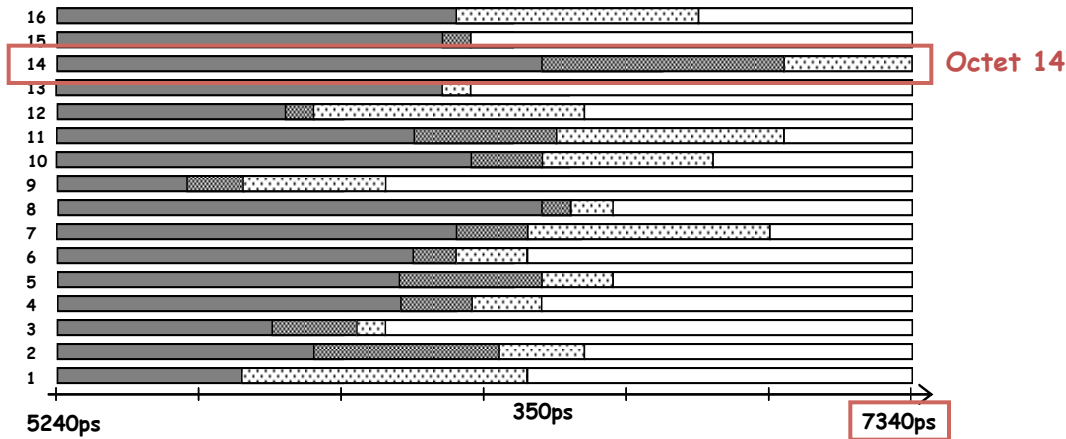
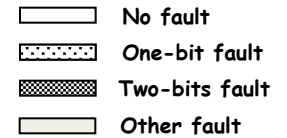
Type de fautes : aléatoire

Facilité d'emploi : aisée (plateforme numérique)

Coût : faible (<1000 €)

■ Glitch d'horloge.

Contrôle de la localisation : par variation du texte clair



Même clef
Texte clair
différent

- Glitch d'horloge.

Résultats obtenus pour 12000 essais :

	Byte 0	Byte 1	Byte 2	Byte 3	Byte 4	Byte 5	Byte 6	Byte 7	Byte 8	Byte 9	Byte 10	Byte 11	Byte 12	Byte 13	Byte 14	Byte 15
bit0	0	0	77	893	0	0	56	1	6	0	1402	0	438	746	22	0
bit1	0	9	1554	11	17	0	1	176	0	0	13	0	0	1	0	7
bit2	0	216	0	0	0	0	0	107	1	11	2	2	0	10	10	21
bit3	0	0	0	629	2	0	1	0	0	1	0	56	0	0	0	663
bit4	0	32	0	275	33	0	0	3	0	0	0	0	222	147	0	29
bit5	0	0	312	33	23	0	0	1290	22	0	0	2	368	9	0	406
bit6	225	690	0	69	83	5	0	0	0	486	1	0	0	0	5	3
bit7	0	10	0	3	95	0	0	62	12	43	0	0	0	0	0	0
Total	225	957	1943	1913	253	5	58	1639	41	541	1418	60	1028	913	37	1129

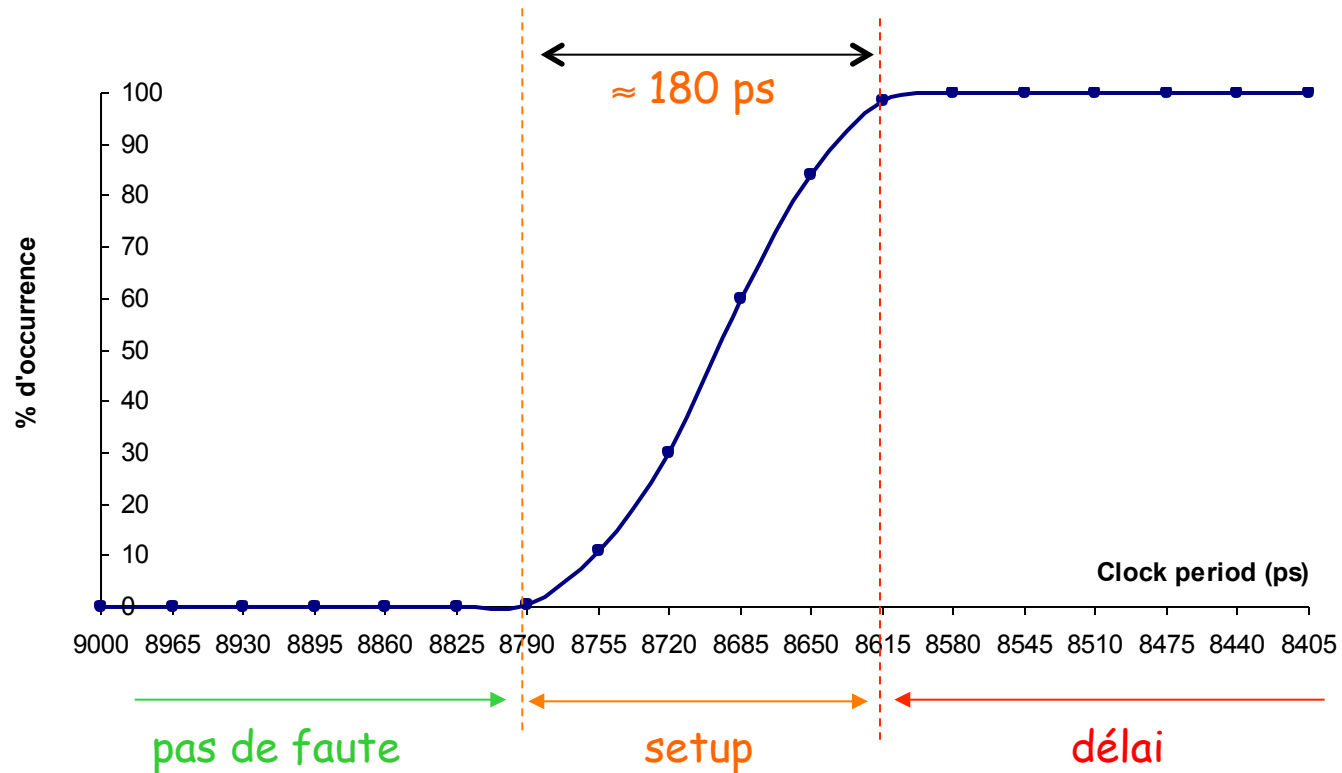
< 10
< 100
≥ 100

Contrôle de la localisation : possible (dépendant de l'implémentation)

Revue expérimentale des techniques d'injection de fautes

- Glitch d'horloge.

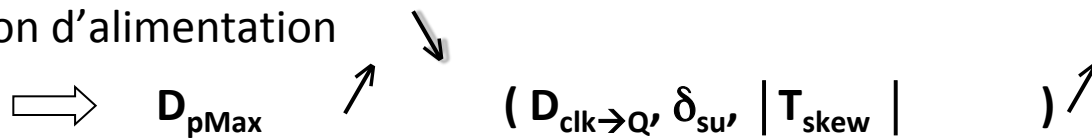
Reproductibilité : bonne (mais non absolue)



Injection de faute par violation de temps de setup / délai

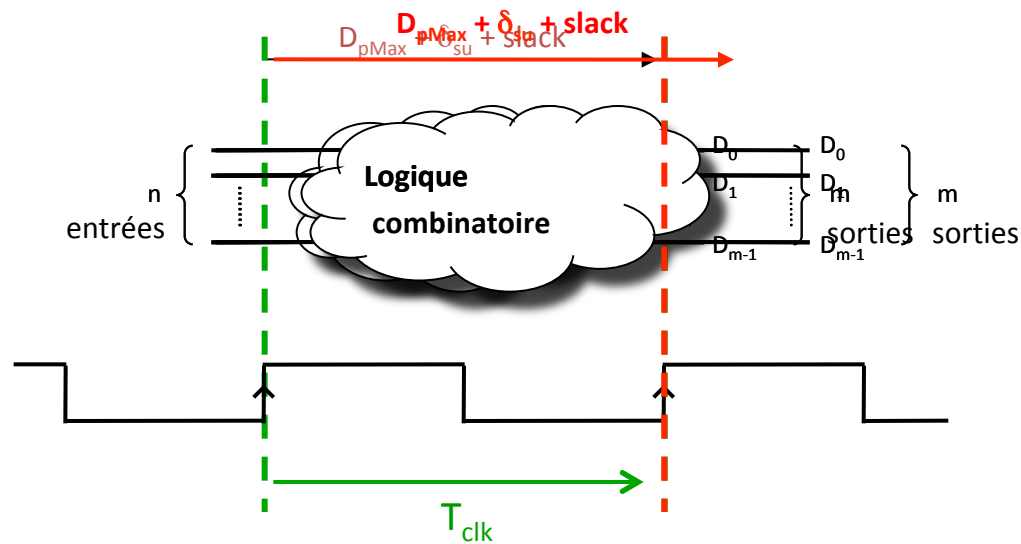
- Injection de faute par diminution de la tension d'alimentation.
(à fréquence nominale)

Tension d'alimentation



$$T_{clk} < D_{clk \rightarrow Q} + D_{pMax} - T_{skew} + \delta_{su}$$

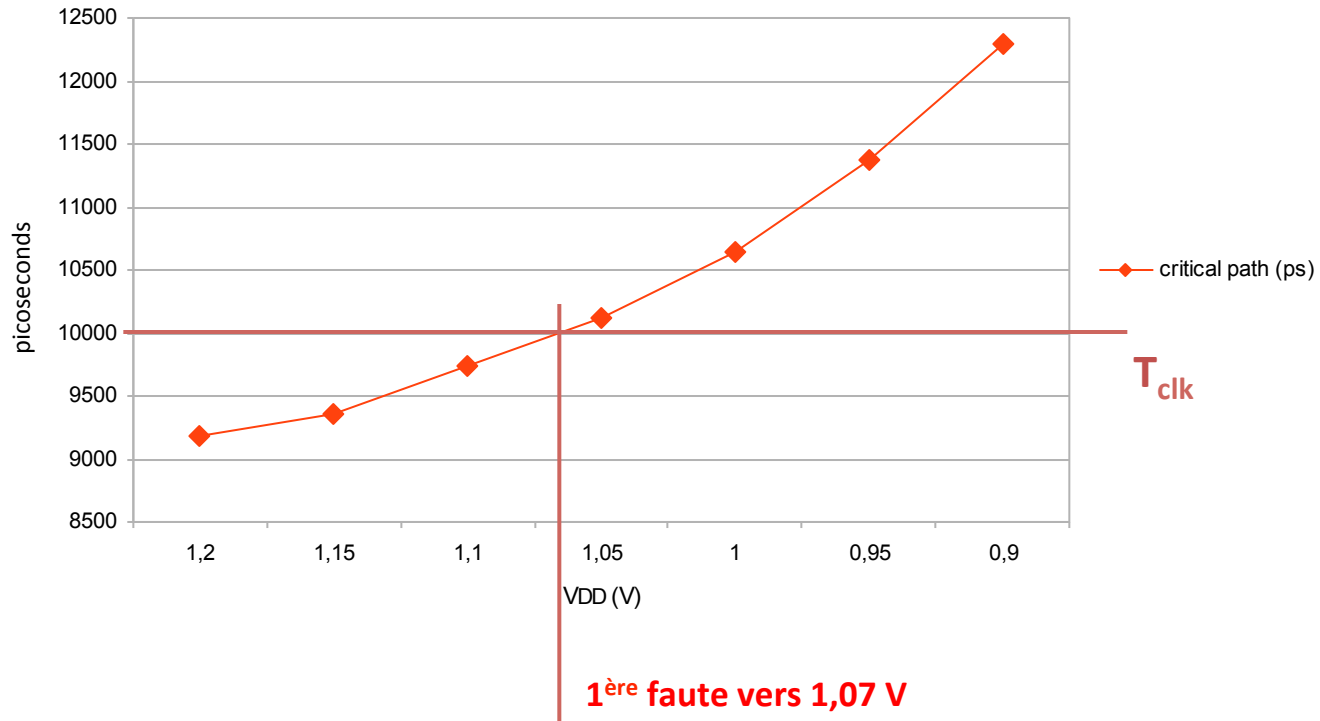
Injection de fautes à chaque cycle d'horloge



Injection de faute par violation de temps de setup / délai

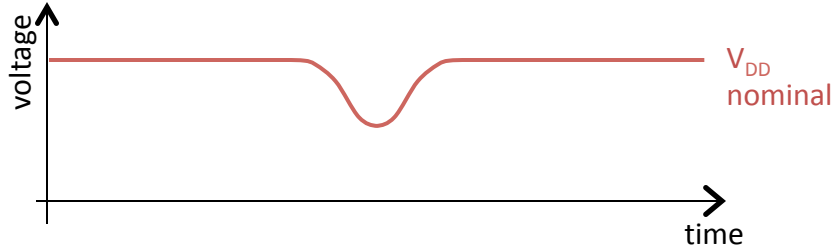
- Injection de faute par diminution de la tension d'alimentation.

Evolution du temps critique avec la tension d'alimentation :



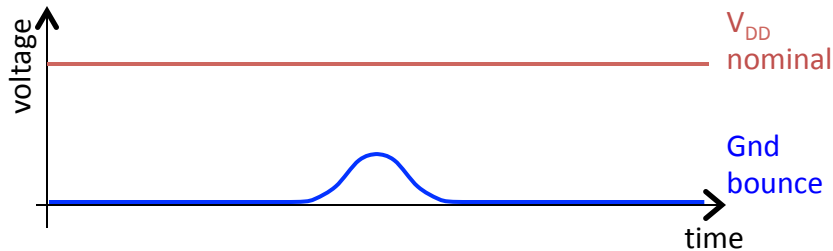
Injection de faute par violation de temps de setup / délai

- Glitch d'alimentation (à fréquence nominale)



Injection de faute durant le glitch

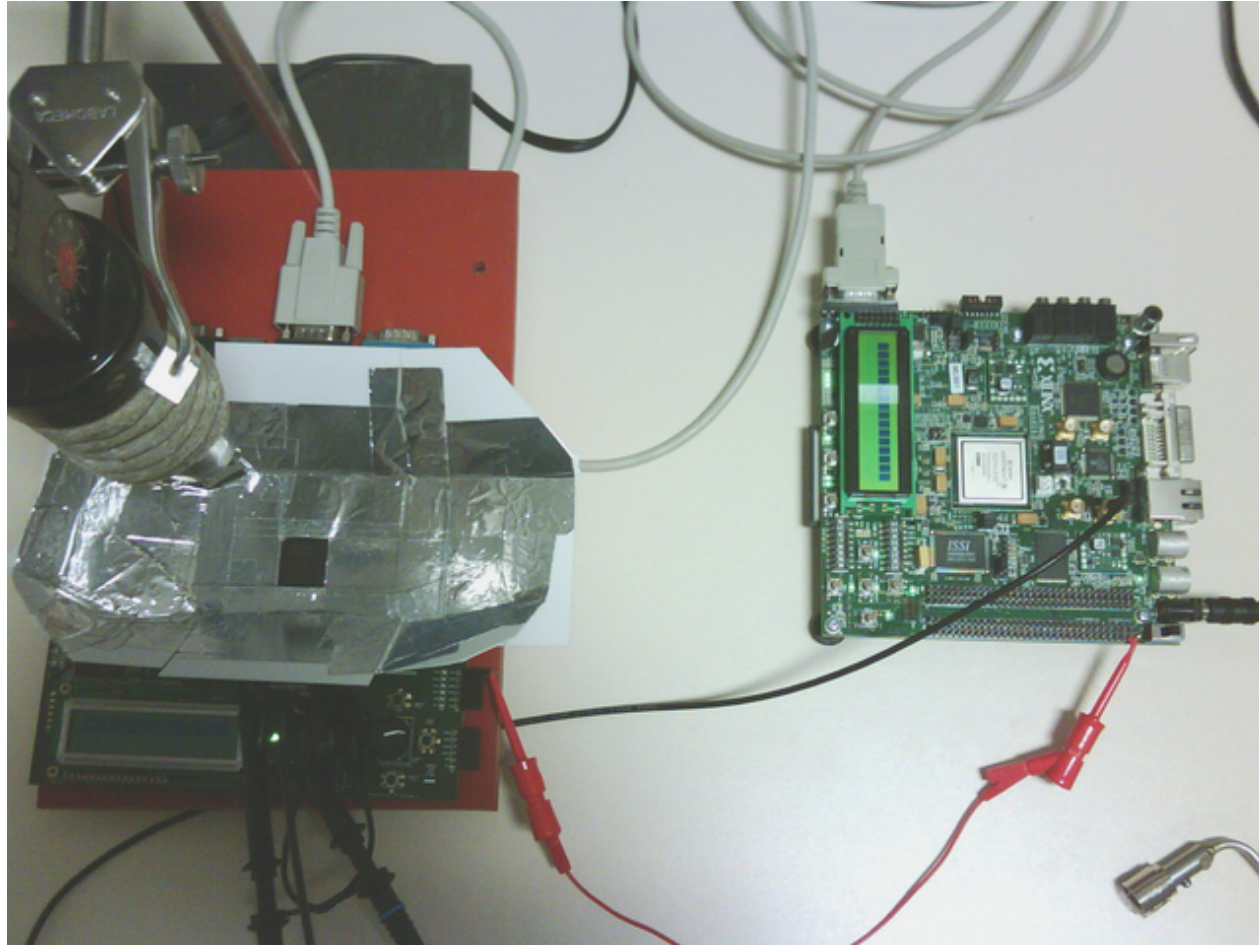
⇒ choix du cycle d'injection



Même mécanisme pour un glitch sur la masse (ground bounce)

Injection de faute par violation de temps de setup / délai

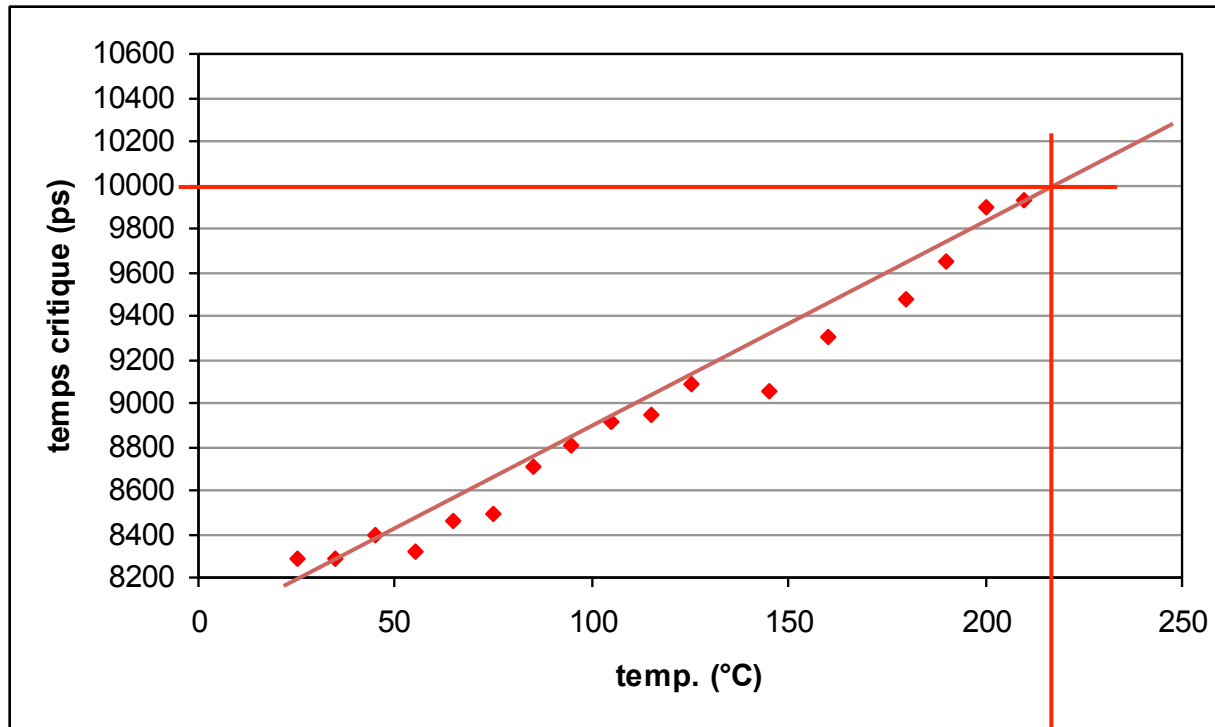
- Augmentation de la température (à fréquence nominale)



Injection de faute par violation de temps de setup / délai

- Augmentation de la température (à fréquence nominale)

→ D_{pMax} ↗ ($D_{clk \rightarrow Q}$, δ_{su} , $|T_{skew}|$) ↗



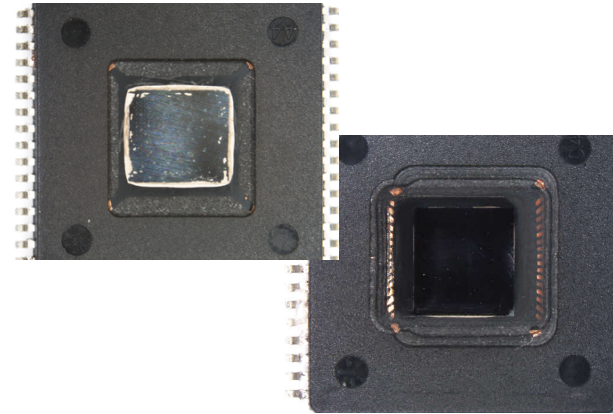
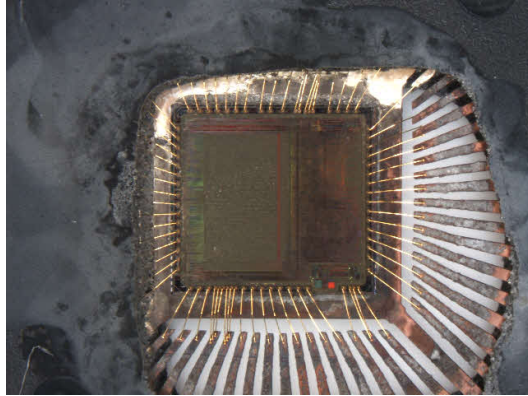
1^{ère} faute vers 210 °C

- Injection de faute par violation de temps de setup / délai :
 - Overclocking.
 - Glitch d'horloge.
 - Injection de faute par diminution de la tension d'alimentation.
 - Glitch d'alimentation.
 - Augmentation de la température.

⇒ Mécanisme d'injection similaire.

Revue expérimentale des techniques d'injection de fautes

- Attaques semi-invasives : ouverture chimique/mécanique du boîtier.



Techniques d'injection optique [Sko02] :

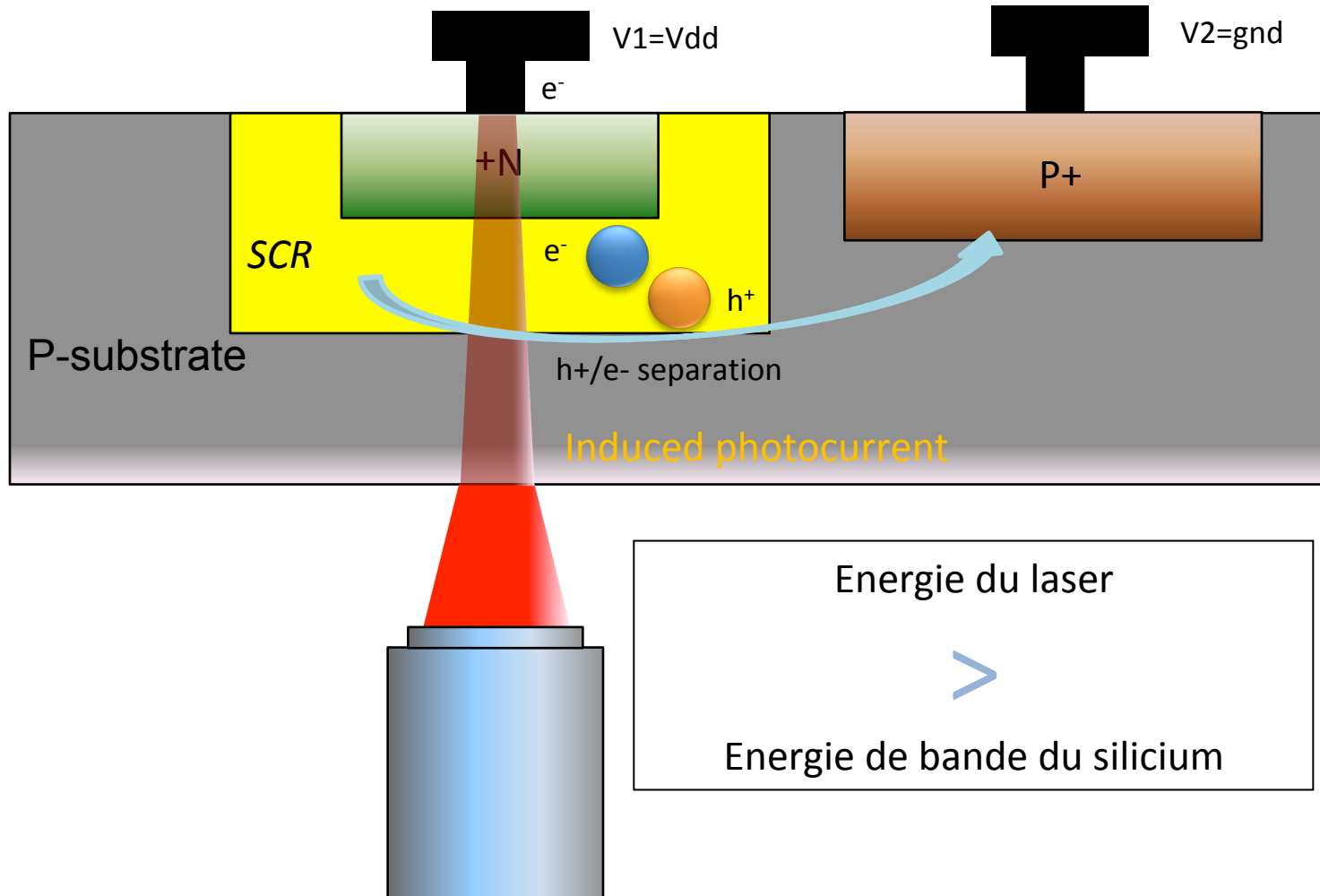
- Flash,
- Laser.



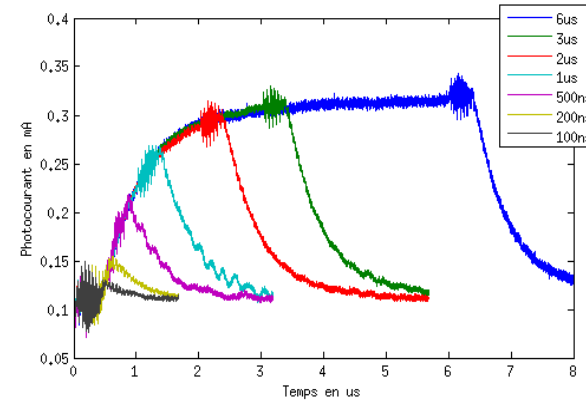
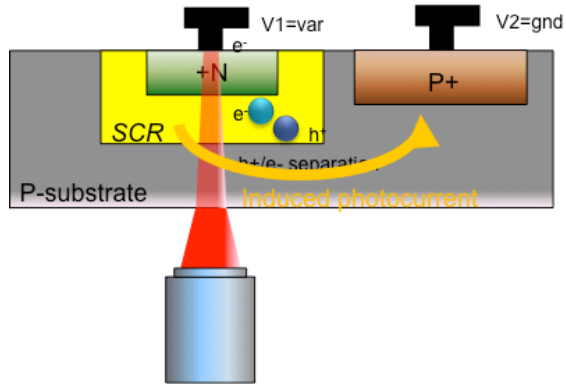
[Sko02]



Effet du laser sur le silicium - Effet photoélectrique



EFFET PHOTOELECTRIQUE



$$I_{ph} = f(\text{Power}_{laser}, \text{Area}_{pn}, \text{Distance}_{pn}, \text{Time}_{laser}, \dots)$$

Transitoire de courant

=> Transitoire de tension

=> Faute/Erreur

▪ Effet du transitoire de tension :

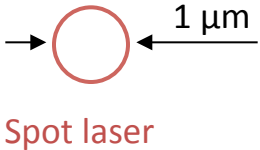
- propagation dans la logique sans mémorisation,
- propagation dans la logique **avec** mémorisation,
- inversion de l'état d'un point mémoire (registre, SRAM).

⇒ injection de faute

▪ Paramètres de réglage d'un laser :

- longueur d'onde,
 - énergie,
 - taille du faisceau, (état de l'art 1 μm min.)
 - durée de l'impulsion,
- gigue.

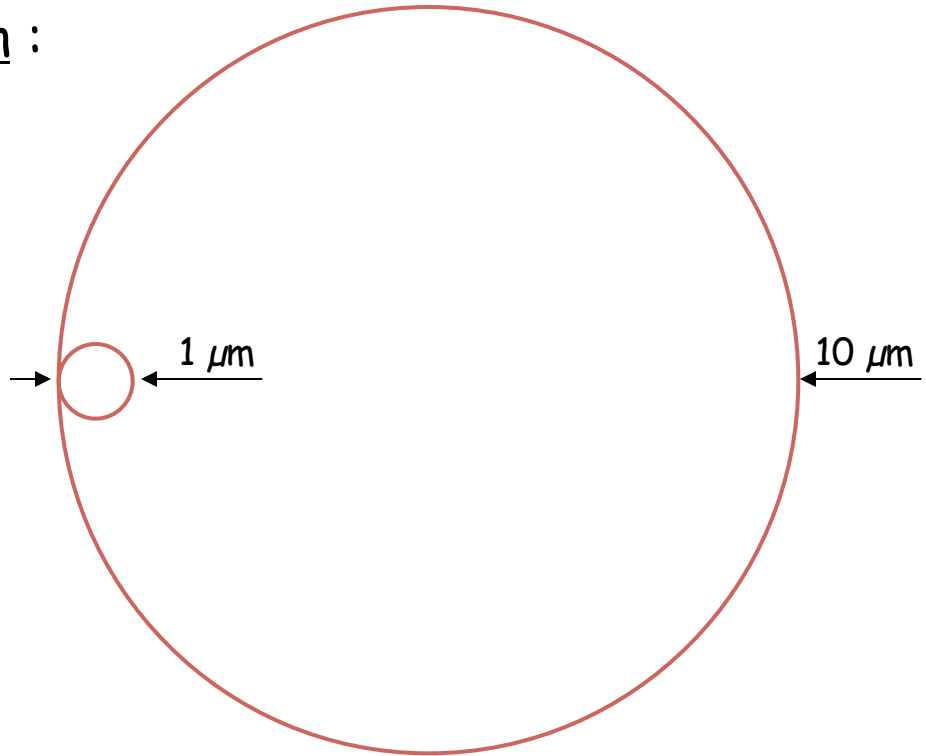
Contrôle de la focalisation :



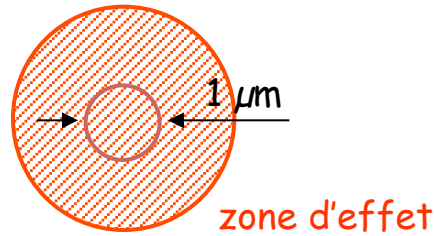
Technologie	Transistor MOS	SRAM
0.35 μm	<p>A cross-sectional diagram of a MOS transistor. It shows a green gate stack on top of a substrate, with a red channel region. A red circle highlights the gate region.</p>	<p>A cross-sectional diagram of a 1T1R SRAM cell. It shows two vertical blue word lines, two horizontal green bit lines, and two red access transistors. A red circle highlights the gate of one access transistor.</p>
130 nm	<p>A cross-sectional diagram of a MOS transistor, smaller than the 0.35 μm version. A red circle highlights the gate region.</p>	<p>A cross-sectional diagram of a 1T1R SRAM cell, smaller than the 0.35 μm version. A red circle highlights the gate of one access transistor.</p>
90 nm	<p>A cross-sectional diagram of a MOS transistor, even smaller. A red circle highlights the gate region.</p>	<p>A cross-sectional diagram of a 1T1R SRAM cell, even smaller. A red circle highlights the gate of one access transistor.</p>
65 nm	<p>A cross-sectional diagram of a MOS transistor, the smallest shown. A red circle highlights the gate region.</p>	<p>A cross-sectional diagram of a 1T1R SRAM cell, the smallest shown. A red circle highlights the gate of one access transistor.</p>

Contrôle de la focalisation :

- Taille du spot



- Zone d'effet
Energie déposée



Contrôle de la localisation : lié au contrôle de la focalisation
platine (x,y,z)

Contrôle de l'instant d'injection : selon électronique de commande
et technologie (gigue).

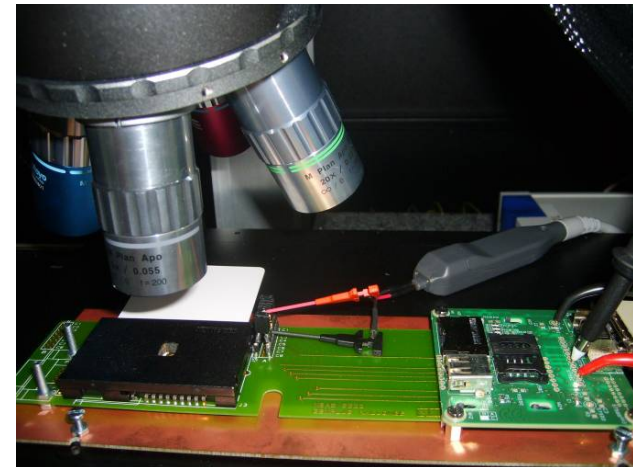
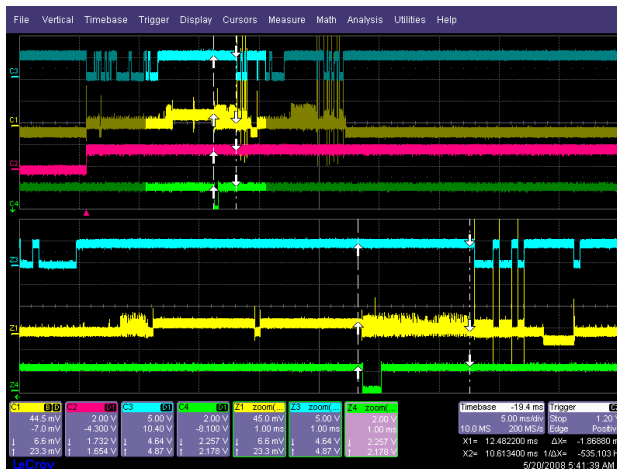
Coût : élevé à très élevé (qqs 10^{aine} k€ à qqs 100^{aines} k€)

- Instrument de caractérisation sécuritaire (pour les plus chers)
Multinationales, gouvernements, etc.

Intérêt : reproductibilité, contrôle de la localisation/focalisation.

- Outil d'attaque pratique (pour les moins chers)
Performances limitées (optiques inadaptées, pointeur laser, expertise, etc.).

- Laser (IR, Green, UV)
- XY stage
- Camera
- Oscilloscope
- Synchronization board
- ISO Reader (optional)

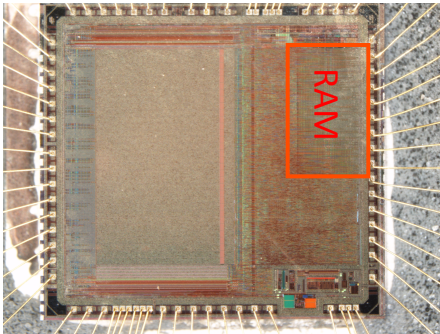


- Amélioration de la focalisation (injection mono-octet).

Cadre : banc d'injection rudimentaire ($\varnothing_{\text{spot}} > 20 \mu\text{m}$).

⇒ Gain en résolution spatiale dû au contrôle de l'instant d'injection

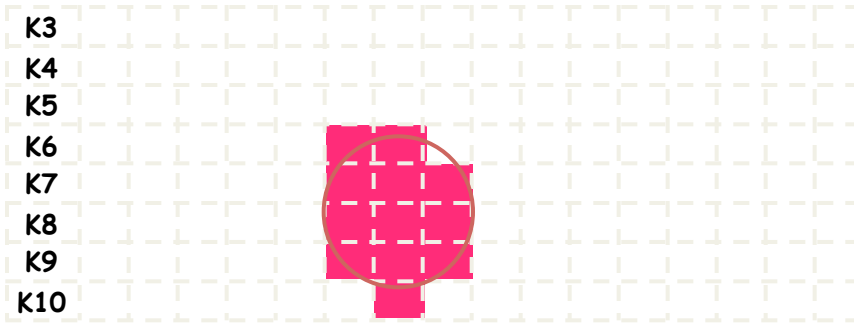
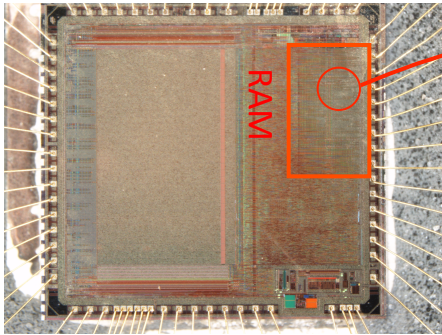
Cible : implémentation AES sur microcontrôleur



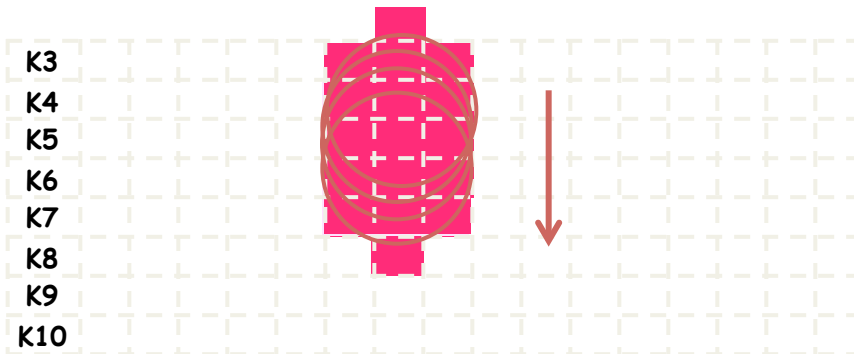
Attaque Piret - Quisquater :

fauter un octet avant le MixColumn de la ronde 9

⇒ fauter un octet de K8



Pas de déplacement : 0,1 μm



Injection en ronde 8
avant le AddRoundKey



Algorithmique : faute mono-octet
Physique : fautes multi octets

	Contrôle de			reproductibilité	coût	facilité d'emploi
	instant d'injection	localisation	focalisation			
Glitch d'horloge (numérique)	maximum	moyen	très bon	bonne	faible	très bonne
Glitch d'alimentation (analogique)	bon ¹	moyen	très bon	bonne	moyen	bonne
Overclocking Baisse V_{DD} Température	faible	moyen	bon	bonne	faible	bonne
Laser	bon ²	très bon	très bon	bonne	élevé	bonne

¹ selon électronique de commande

² selon électronique de commande et technologie